




XI'AN JIAOTONG UNIVERSITY

## 第三章 Hopfield神经网络

- 引言
- Hopfield人工神经网络的电路模型及其能量函数
- Hopfield人工神经网络A/D变换器
- Hopfield人工神经网络用于求解TSP
- Hopfield人工神经网络用于求解货流问题
- Hopfield人工神经网络用于联想记忆
- 双向联想记忆
- 小结

2004-8-8
《神经网络导论》——Hopfield神经网络
3-1



XI'AN JIAOTONG UNIVERSITY


## § 3.1 引言

1982年到1986年，美国物理学家Hopfield在美国科学院院刊上陆续发表了几篇论文，提出了反馈神经网络理论，报导了相应的研究成果，成为新一轮神经网络研究高潮的标志。因此，把这种单层反馈网络称为Hopfield网络。

下表是Hopfield网络和前向多层网络的简单比较。

	前向多层网络	Hopfield 网络
网络连接形式	不含反馈连接	包含反馈连接
输出输入关系	简单映射关系，不考虑滞后效应	要考虑输出输入间的延迟，要用差分或微分方程描述
学习算法	误差修正法（BP算法），收敛慢	Hebb 规则，收敛快
应用（功能）	分类、联想	分类、联想、优化计算
稳定性理论	分析简单	分析复杂

2004-8-8
《神经网络导论》——Hopfield神经网络
3-2



XI'AN JIAOTONG UNIVERSITY

## § 3.1 引言


Hopfield的主要贡献有：

- <1> 提出了利用能量函数研究反馈网络稳定状态的方法。
- <2> 给出了利用模拟电子线路实现反馈型人工神经网络的电路模型。
- <3> 成功求解了人工智能的典型难题——TSP问题。

以此为基础，人们对Hopfield网络进行了深入研究，主要有以下几个方面：寻找Hopfield网络的稳定性规律并进而研究其信息容量；提出各种改进的Hopfield网络模型；参照Hopfield电子线路模型研究人工神经网络的硬件实现方法；借助能量函数方法用Hopfield网络求解优化计算、组合数学、人工智能问题的多种实例。

本章主要讨论Hopfield人工神经网络的网络模型，以及其在优化计算、联想记忆方面的应用，并简单介绍Hopfield网络的稳定性问题。

2004-8-8
《神经网络导论》——Hopfield神经网络
3-3



XI'AN JIAOTONG UNIVERSITY

## § 3.2 Hopfield人工神经网络的电路模型及其能量函数

### 一、电路模型

Hopfield用模拟电子线路构造了反馈型人工神经网络的电路模型，如图3-1所示。电路中的基本元件如下：

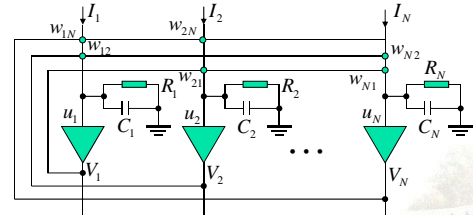


图3-1 Hopfield神经网络电路模型

2004-8-8
《神经网络导论》——Hopfield神经网络
3-4

### § 3.2 Hopfield人工神经网络的电路模型及其能量函数

XI'AN JIAOTONG UNIVERSITY

1. 用具有正、反向输出的运算放大器模仿神经元的非线性函数关系。第  $i$  个神经元输出电压  $V_i$  与输入电压  $u_i$  之间的关系为S形函数，如图3-2所示。

$$V_i = f_i(u_i) = \frac{1}{2} \left[ 1 + \tanh\left(\frac{u_i}{u_0}\right) \right] = \frac{1}{1 + e^{-2u_i/u_0}}$$

$u_0$  是归一化基准值。当  $u_0 \rightarrow 0$  时,  $f_i$  成为硬限幅函数。

2. 输入电容  $C_i$  和电阻  $R_i$ ，决定着电路的时间常数，它使放大器的输出相对于输入有一定的延时，这可以用来模仿神经元的动态特性。

3. 连接电导  $w_{ij}$ ，是第  $j$  个神经元的输出和第  $i$  个神经元的输入之间的连接电导，

图3-2 神经元特性曲线

2004-8-8      《神经网络导论》——Hopfield神经网络      3-5

### § 3.2 Hopfield人工神经网络的电路模型及其能量函数

XI'AN JIAOTONG UNIVERSITY

它模仿神经元之间的突触作用。也可以用电阻  $R_{ij}$  来表示,  $R_{ij} = 1/w_{ij}$ 。

4. 外加偏置电流  $I_i$ ，模仿神经元的阈值作用。

图3-3是第  $i$  个神经元输入节点处元件的相互连接关系，显然，由KCL定律我们可得：

$$\sum_j w_{ij}(V_j - u_i) + I_i = C_i \frac{du_i}{dt} + \frac{u_i}{R_i}$$

令  $\frac{1}{R'_i} = \frac{1}{R_i} + \sum_j w_{ij}$

得  $C_i \frac{du_i}{dt} = \sum_j w_{ij} V_j + I_i - \frac{u_i}{R'_i}$

图3-3 神经元输入节点处的元件连接关系

2004-8-8      《神经网络导论》——Hopfield神经网络      3-6

### § 3.2 Hopfield人工神经网络的电路模型及其能量函数

XI'AN JIAOTONG UNIVERSITY

如果各神经元参数相同，并取  $R = R'_i, C = C_i = 1$ ：令  $\tau = RC$ 。则有：

$$\begin{cases} \frac{du_i}{dt} = -\frac{u_i}{\tau} + \sum_j w_{ij} V_j + I_i & i = 1, 2, \dots, N \\ V_i = f_i(u_i) \end{cases} \quad \dots \dots \text{EQ3.5}$$

$N$  个神经元的方程构成  $N$  元联立非线性微分方程组。给定一个初值，可以求出此方程组的解；如果方程组的解为一组确定值，则表明系统演变的最终结果将得到一个稳定状态。所以，具体应用时都需要研究它的稳定性，稳定状态存在的规律及性质。

➡

#### 二、能量函数

Hopfield利用非线性动力学系统理论中的能量函数法（Liapunov第二方法）为网络建立了能量函数，借此研究反馈神经网络的稳定性，并利用此方法建立了求解优化问题的系统方程式。

2004-8-8      《神经网络导论》——Hopfield神经网络      3-7

### § 3.2 Hopfield人工神经网络的电路模型及其能量函数

XI'AN JIAOTONG UNIVERSITY

$$E = -\frac{1}{2} \sum_{i \neq j} \sum_j w_{ij} V_i V_j + \sum_i \frac{1}{R'_i} \int_0^{V_i} f_i^{-1}(V) dV - \sum_i I_i V_i \quad \dots \dots \text{EQ3.6}$$

$E$  具有能量的量纲。

下面证明： $E$  对时间的导数为负值，且达到稳定状态时， $E$  取极小值。

使用复合微分  $\frac{dE}{dt} = \sum_i \frac{\partial E}{\partial V_i} \cdot \frac{dV_i}{dt}$

利用突触权重的对称性  $w_{ij} = w_{ji}$ ，可得

$$\frac{\partial E}{\partial V_i} = -\sum_j w_{ij} V_j + \frac{u_i}{R'_i} - I_i \quad \dots \dots \text{EQ3.8}$$

与EQ3.3  $C_i \frac{du_i}{dt} = \sum_j w_{ij} V_j + I_i - \frac{u_i}{R'_i}$  比较，有  $\frac{\partial E}{\partial V_i} = -C_i \frac{du_i}{dt}$  所以：

2004-8-8      《神经网络导论》——Hopfield神经网络      3-8

### § 3.2 Hopfield人工神经网络的电路模型及其能量函数

西安交通大学 XIAN JIAOTONG UNIVERSITY

$$\frac{dE}{dt} = -\sum_i C_i \frac{du_i}{dt} \cdot \frac{dV_i}{dt}$$

$$= -\sum_i C_i \frac{du_i}{dV_i} \frac{dV_i}{dt} \cdot \frac{dV_i}{dt}$$

$$= -\sum_i C_i \frac{du_i}{dV_i} \left(\frac{dV_i}{dt}\right)^2$$

其中  $C_i > 0$ ,  $(dV_i/dt)^2 \geq 0$   
 由右图, 可知  $du_i/dV_i > 0$ 。  
 所以  $dE/dt \leq 0$ ,  
 且当  $dV_i/dt = 0$  时,  $dE/dt = 0$ 。

以上结果说明, 随着时间的推移, 在状态空间中, 网络总是朝能量函数  $E$  减小的方向运动, 网络达到稳态时  $E$  取极小值。

2004-8-8 《神经网络导论》——Hopfield神经网络 3-9

### § 3.2 Hopfield人工神经网络的电路模型及其能量函数

西安交通大学 XIAN JIAOTONG UNIVERSITY

如果神经元非线性函数  $f$  是硬限幅函数, 则EQ3.6中的第二项 (积分项) 等于零。所以能量函数  $E$  的表达式可以简化为:

$$E = -\frac{1}{2} \sum_{i \neq j} \sum_j w_{ij} V_i V_j - \sum_i I_i V_i \quad \dots \dots \dots \text{EQ3.13}$$

其实, 在一般情况下, 当  $f$  为sigmoid函数时, 如果  $V_i$  的值接近于1或0, 那么它的变动对积分结果的影响也不大, 能量函数也可以近似为上式。

其矩阵形式为:

$$E = -\frac{1}{2} \mathbf{V}^T \mathbf{W} \mathbf{V} - \mathbf{V}^T \mathbf{I} \quad \dots \dots \dots \text{EQ3.14}$$

设神经元数目为  $N$ , 那么式中  $\mathbf{V}$  是  $N$  维列向量,  $\mathbf{V}^T$  是  $\mathbf{V}$  的转置,  $\mathbf{W}$  是  $N \times N$  的方阵,  $\mathbf{I}$  也是  $N$  维列向量。

2004-8-8 《神经网络导论》——Hopfield神经网络 3-10

### § 3.3 Hopfield神经网络A/D变换器

西安交通大学 XIAN JIAOTONG UNIVERSITY

#### 一、Tank与Hopfield神经网络A/D变换器

模拟量 $x$	数字量 $V_i$
9	1001
8	1000
⋮	⋮

右图为 Tank 和 Hopfield给出的神经网络A/D变换器的原理电路图。要求: 当网络稳定以后, 其输出  $V_i$  接近于0或1, 且与模拟量  $x$  满足如下关系:

图3-7 神经网络A/D变换器

2004-8-8 《神经网络导论》——Hopfield神经网络 3-11

### § 3.3 Hopfield神经网络A/D变换器

西安交通大学 XIAN JIAOTONG UNIVERSITY

$$x \doteq \sum_{i=0}^3 2^i V_i \quad \dots \dots \dots \text{EQ3.25}$$

为了完成此A/D转换电路的设计, 需要根据要求建立Hopfield网络的能量函数, 并由此计算出网络各突触电导值  $w_{ij}$ 。

A. 因为要求电路的转换功能完成以后, 模拟量  $x$  与数字量  $V_i$  之间满足EQ3.25, 所以能量函数中应该包含下式:

$$\frac{1}{2} \left( x - \sum_{i=0}^3 2^i V_i \right)^2 \quad \dots \dots \dots \text{EQ3.26}$$

B. 要求输出  $V_i$  尽量靠近0或1。由于网络的输出是连续的, 为保证输出数字量, 能量函数中要附加下式:

$$-\frac{1}{2} \sum_{i=0}^3 (2^i)^2 V_i (V_i - 1) \quad \dots \dots \dots \text{EQ3.27}$$

2004-8-8 《神经网络导论》——Hopfield神经网络 3-12

XI'AN JIAOTONG UNIVERSITY

### § 3.3 Hopfield神经网络A/D变换器

此式大于等于0，只有当  $V_i = 0$  或  $1$  时取最小值0。其中系数的选择是为了保证突触连接电导矩阵  $\mathbf{W}$  的对角元素为0，即当  $j = i$  时， $w_{ij} = 0$ 。

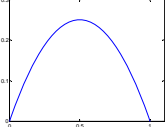
将EQ3.26与EQ3.27相加，整理并去除与变量  $V_i$  无关的项，可得如下的能量函数：

$$E = -\frac{1}{2} \sum_{j=0}^3 \sum_{i \neq j}^3 (-2^{i+j}) V_i V_j - \sum_{i=0}^3 (-2^{2i-1} + 2^i x) V_i \quad \dots \dots \text{EQ3.28}$$

将此式与“标准的”Hopfield能量函数表达式

$$E = -\frac{1}{2} \sum_{i \neq j} w_{ij} V_i V_j - \sum_i I_i V_i \quad \dots \dots \text{EQ3.13}$$

进行比较，可得电路中的电导值为： $w_{ij} = -2^{(i+j)}$

$$I_i = -2^{(2i-1)} + 2^i x$$


2004-8-8      《神经网络导论》——Hopfield神经网络      3-13

XI'AN JIAOTONG UNIVERSITY

### § 3.3 Hopfield神经网络A/D变换器

其中， $w_{ij}$  表示各突触的电导值，利用运放的反相输出可以实现式中的负号。神经元偏置电流表达式由两项组成，第一项表示参考电压源和运放输入之间连接的电导值，若参考电压为  $-1V$ ，则电导值为  $2^{(2i-1)}$ ；第二项表示模拟输入到各运放所经过的电导值，即  $2^i$ 。显然这是一组归一化的电导值。

实际电路中还需要做以下修正：

- (1) 当运放输出电压为0至  $V_{BB}$  伏时，有
 
$$w_{ij} = -2^{(i+j)} / V_{BB}$$
- (2) 当参考电压源为  $-V_R$  时，相应的一组电导值为：
 
$$2^{(2i-1)} / V_R$$
- (3) 当输入信号  $x$  的最大值为  $V_H$  时，相应的一组电导值为：
 
$$\frac{2^i}{V_H} = \frac{2^{4+i}}{16}$$

2004-8-8      《神经网络导论》——Hopfield神经网络      3-14

XI'AN JIAOTONG UNIVERSITY

### § 3.3 Hopfield神经网络A/D变换器

神经网络A/D变换器的优点包括：(a) 由于它是并行工作的，所以比一般的串行A/D变换器速度快；(b) 比一般的并行A/D变换器结构简单，需要的运放少。

这种电路的缺点是存在迟滞 (hysteresis) 现象。

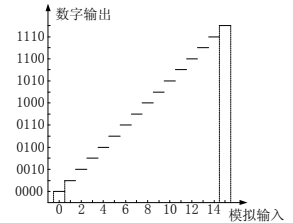
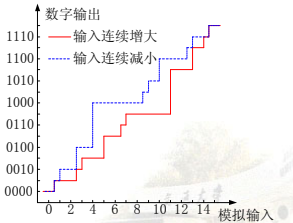



图3-8 正确工作情况下的A/D转换关系      图3-9 迟滞现象

2004-8-8      《神经网络导论》——Hopfield神经网络      3-15

XI'AN JIAOTONG UNIVERSITY

### § 3.3 Hopfield神经网络A/D变换器

出现迟滞现象的原因是：在给定的输入模拟量的情况下，该电路的能量函数存在多个极小值，其中只有一个是全局最小值，其余为局部极小值，当系统收敛到局部极小解时，就出现错误映射。

解决办法：

- (1) Tank与Hopfield指出，如果在每次变换之前先输入零，则可以避免(减小)迟滞现象。但电路复杂度增大，工作速度降低。
- (2) 利用非对称Hopfield人工神经网络。

张宁、郑君里，“非对称人工神经网络A/D变换器”，电路与系统学报，1991，2。

2004-8-8      《神经网络导论》——Hopfield神经网络      3-16

### § 3.3 Hopfield神经网络A/D变换器

二、非对称Hopfield神经网络及相应的A/D变换器

(一) 非对称Hopfield网络结构

网络结构如右图所示。可以看到，网络结构有如下特点：高位输出只对低位输入有反馈，而低位输出对高位没有影响。网络的这个特点使得该网络总是稳定的，且不存在局部极小值。下面我们将证明这一点。

对神经元的要求：单调连续，权值  $T_{ij} \geq 0$ 。

图3 非对称Hopfield网络A/D变换器

2004-8-8      《神经网络导论》——Hopfield神经网络      3-17

### § 3.3 Hopfield神经网络A/D变换器

(二) 关于网络稳定性和唯一性的证明

证明中要用到如下的定理。

**【定理】** 考虑微分方程

$$y^{(n)} + a_1 y^{(n-1)} + \dots + a_{n-1} y^{(1)} + a_n y = \phi(t)$$

其中  $a_1, a_2, \dots, a_n$  为实常数， $a_n \neq 0$ ， $\phi(t)$  为连续函数，若方程满足：

(a)  $\lim_{t \rightarrow \infty} \phi(t) = b$  ;

(b) 微分方程的特征方程的根具有负实部，

那么它的所有解当  $t \rightarrow \infty$  时，趋于  $b/a_n$ 。

1. 稳定性

对于图示的网络来说，根据KCL，其运动方程为

$$C_i \frac{du_i}{dt} = - \sum_{j=i+1}^N T_{ij} V_j + I_i - \frac{u_i}{R_i} \dots \dots \dots (1)$$

2004-8-8      《神经网络导论》——Hopfield神经网络      3-18

### § 3.3 Hopfield神经网络A/D变换器

其中  $T_{ij} \geq 0, i = 1, 2, \dots, N$ 。

当  $i = N$  时，有

$$C_N \frac{du_N}{dt} = I_N - \frac{u_N}{R_N} \dots \dots \dots (2)$$

由于  $R_N > 0, C_N > 0$ ，根据上述定理 ( $a_n = \frac{1}{R_N}, b = I_N$ ) 有  $t \rightarrow \infty$  时，(2)式的稳态解为

$$u_N^e = R_N I_N \quad \text{其中上标 } e \text{ 代表平衡状态。}$$

当  $i = N-1$  时，有

$$C_{N-1} \frac{du_{N-1}}{dt} = -T_{N-1,N} V_N + I_{N-1} - \frac{u_{N-1}}{R_{N-1}} \dots \dots \dots (3)$$

由于  $V_N = g(u_N)$ ，其中  $g(\bullet)$  是神经元功能函数，且  $g(u)$  是单调连续的。

2004-8-8      《神经网络导论》——Hopfield神经网络      3-19

### § 3.3 Hopfield神经网络A/D变换器

所以：  $\lim_{t \rightarrow \infty} V_N = g(u_N^e)$

根据上述定理，有

$$\lim_{t \rightarrow \infty} u_{N-1} = -R_{N-1} T_{N-1,N} g(u_N^e) + R_{N-1} I_{N-1}$$

同理可证，对  $i = 1, 2, \dots, N$ ，方程(1)的稳态解为

$$u_i^e = -R_i \sum_{j=i+1}^N T_{ij} g(u_j^e) + R_i I_i \dots \dots \dots (4)$$


可见方程(1)的解当  $t \rightarrow \infty$  时是稳定的，且与初始条件无关。

2. 唯一性

当方程(1)达到稳定时， $C_i \frac{du_i}{dt} = 0$ ，那么从方程(1)显然可以得到其平衡状态的解为：

$$\frac{u_i^e}{R_i} = - \sum_{j=i+1}^N T_{ij} g(u_j^e) + I_i \dots \dots \dots (5)$$

2004-8-8      《神经网络导论》——Hopfield神经网络      3-20



XI'AN JIAOTONG UNIVERSITY

### § 3.3 Hopfield神经网络A/D变换器

由于  $I_i$  对于某一具体输入是确定的，因此方程(1)的解是唯一的。比较(4)、(5)两式，可见两者是一致的，所以由方程(1)所描述的网络的解是唯一的，且解的吸引域为整个空间。

(三) 非对称Hopfield网络的优点

1. 不存在局部极小点问题；2. 该系统总是稳定的。


(四) 在A/D变换中的应用

为了用这个网络实现A/D变换，必须在网络输出与模拟输入之间建立一定的关系，使这些输出能代表模拟输入的值。设图中运放的输出高电平为  $A$  伏，低电平为  $B$  伏，模拟输入的动态范围为  $C$  伏，那么网络输出  $V_j$  应满足：

$$\frac{2^N-1}{C}x - 0.5 \leq \sum_{j=1}^N (V_j - B) \frac{2^{j-1}}{K} \leq \frac{2^N-1}{C}x + 0.5 \quad \dots\dots (6)$$

其中  $K = A - B$ ， $N$  为A/D变换器的位数，展开(6)式

2004-8-8      《神经网络导论》——Hopfield神经网络      3-21



XI'AN JIAOTONG UNIVERSITY

### § 3.3 Hopfield神经网络A/D变换器

$$\frac{2^N-1}{C}x - 0.5 \leq \sum_{j=1}^{i-1} (V_j - B) \frac{2^{j-1}}{K} + (V_i - B) \frac{2^{i-1}}{K} + \sum_{j=i+1}^N (V_j - B) \frac{2^{j-1}}{K} \leq \frac{2^N-1}{C}x + 0.5$$

$$\frac{2^N-1}{C}x - 0.5 - \sum_{j=1}^{i-1} (V_j - B) \frac{2^{j-1}}{K} \leq (V_i - B) \frac{2^{i-1}}{K} + \sum_{j=i+1}^N (V_j - B) \frac{2^{j-1}}{K} \leq \frac{2^N-1}{C}x + 0.5$$


因为  $\sum_{j=1}^{i-1} (V_j - B) \frac{2^{j-1}}{K} \leq \sum_{j=1}^{i-1} 2^{j-1} = 2^{i-1} - 1$ ，所以

$$\frac{2^N-1}{C}x + 0.5 - 2^{i-1} - \sum_{j=i+1}^N (V_j - B) \frac{2^{j-1}}{K} \leq (V_i - B) \frac{2^{i-1}}{K} \dots\dots (7)$$

$$\leq \frac{2^N-1}{C}x + 0.5 - \sum_{j=i+1}^N (V_j - B) \frac{2^{j-1}}{K}$$

定义如下决策函数：

2004-8-8      《神经网络导论》——Hopfield神经网络      3-22



XI'AN JIAOTONG UNIVERSITY

### § 3.3 Hopfield神经网络A/D变换器

$$u_{ii} = \frac{2^N-1}{C}x + 0.5 - 2^{i-1} - \sum_{j=i+1}^N (V_j - B) \frac{2^{j-1}}{K} \quad \dots\dots (8)$$

$V_i$  和决策函数有如下关系。当  $V_i = A$  时，根据(7)式的右半不等式，有

$$\frac{2^N-1}{C}x + 0.5 - \sum_{j=i+1}^N (V_j - B) \frac{2^{j-1}}{K} \geq (V_i - B) \frac{2^{i-1}}{K} = 2^{i-1}$$


$$\Rightarrow \frac{2^N-1}{C}x + 0.5 - \sum_{j=i+1}^N (V_j - B) \frac{2^{j-1}}{K} - 2^{i-1} \geq 0 \Rightarrow u_{ii} \geq 0$$

当  $V_i = B$  时，根据(7)式的左半不等式，有

$$\frac{2^N-1}{C}x + 0.5 - \sum_{j=i+1}^N (V_j - B) \frac{2^{j-1}}{K} - 2^{i-1} \leq 0 \Rightarrow u_{ii} \leq 0$$

所以有  $\begin{cases} \text{当 } V_i = A \text{ 时, } u_{ii} \geq 0 \\ \text{当 } V_i = B \text{ 时, } u_{ii} \leq 0 \end{cases}$

2004-8-8      《神经网络导论》——Hopfield神经网络      3-23



XI'AN JIAOTONG UNIVERSITY

### § 3.3 Hopfield神经网络A/D变换器

反过来，当  $u_{ii} > 0$  时，有

$$0 < u_{ii} = \frac{2^N-1}{C}x + 0.5 - 2^{i-1} - \sum_{j=i+1}^N (V_j - B) \frac{2^{j-1}}{K}$$

$$= \frac{2^N-1}{C}x - 0.5 + 1 - 2^{i-1} - \sum_{j=i+1}^N (V_j - B) \frac{2^{j-1}}{K}$$

$$\leq \sum_{j=1}^N (V_j - B) \frac{2^{j-1}}{K} + 1 - 2^{i-1} - \sum_{j=i+1}^N (V_j - B) \frac{2^{j-1}}{K}$$

$$= \sum_{j=1}^{i-1} (V_j - B) \frac{2^{j-1}}{K} + 1 - 2^{i-1} + (V_i - B) \frac{2^{i-1}}{K}$$

$$\leq 2^{i-1} - 1 + 1 - 2^{i-1} + (V_i - B) \frac{2^{i-1}}{K} \Rightarrow V_i = A$$

2004-8-8      《神经网络导论》——Hopfield神经网络      3-24



### § 3.3 Hopfield神经网络A/D变换器

而当  $u_{ii} < 0$  时, 有

$$0 > u_{ii} = \frac{2^N - 1}{C} x + 0.5 - 2^{i-1} - \sum_{j=i+1}^N (V_j - B) \frac{2^{j-1}}{K}$$

$$\geq \sum_{j=1}^N (V_j - B) \frac{2^{j-1}}{K} - 2^{i-1} - \sum_{j=i+1}^N (V_j - B) \frac{2^{j-1}}{K}$$

$$= \sum_{j=1}^{i-1} (V_j - B) \frac{2^{j-1}}{K} + (V_i - B) \frac{2^{i-1}}{K} - 2^{i-1}$$

$$\geq (V_i - B) \frac{2^{i-1}}{K} - 2^{i-1} \Rightarrow V_i = B$$

所以有  $\begin{cases} \text{当 } u_{ii} > 0 \text{ 时, } V_i = A \\ \text{当 } u_{ii} < 0 \text{ 时, } V_i = B \end{cases}$

2004-8-8      《神经网络导论》——Hopfield神经网络      3-25

### § 3.3 Hopfield神经网络A/D变换器

由此可见,  $u_{ii}$  与  $V_i$  的对应关系和  $u_i$  与  $V_i$  的对应关系是一致的。因此决策函数  $u_{ii}$  就决定了A/D变换器第  $i$  位取值所应遵循的规则, 也就确定了网络方程的稳定解。根据这一点就可以导出相应的网络参数。

网络的稳态解为

$$u_i^e / R_i = - \sum_{j=i+1}^N T_{ij} g(u_j^e) + I_i$$

比较可得:

$$\begin{cases} T_{ij} = 2^{j-1} / K & j = i+1, \dots, N \\ I_i = \frac{2^N - 1}{C} x + 0.5 - 2^{i-1} + \frac{B}{K} (2^N - 2^i) & i = 1, 2, \dots, N \end{cases}$$

由式中的  $I_i$  可以确定:

$$K_i = \frac{2^N - 1}{C} \quad L_i = 0.5 - 2^{i-1} + \frac{B}{K} (2^N - 2^i) \quad i = 1, 2, \dots, N$$

2004-8-8      《神经网络导论》——Hopfield神经网络      3-26

### § 3.4 Hopfield网络用于求解TSP

#### 一、TSP命题

TSP是Travelling Salesman Problem的缩写, 中文称为“旅行商问题”, 它是一个经典的人工智能难题。

TSP命题是: 设有  $N$  个城市A、B、C..., 它们之间的距离分别为  $d_{AB}$ 、 $d_{AC}$ 、...  $d_{BC}$  ...。问题是寻找一条闭合路径, 此路径经过每个城市且只经过一次, 最后返回起始城市, 要求路径的长度最短。

如图3-4是  $N = 10$  时的一种可能路径。其路径长度为

$$d = d_{AJ} + d_{JC} + d_{CB} + \dots + d_{EA}$$

不难求得, 对于给定的  $N$  可能存在的路径

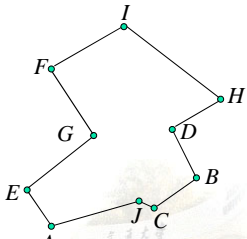


图3-4 10个城市的TSP路径示意

2004-8-8      《神经网络导论》——Hopfield神经网络      3-27

### § 3.4 Hopfield网络用于求解TSP

数为  $\frac{1}{2}(N-1)!$ 。如果按照传统的方法, 先计算出所有可能路径的长度然后再搜索最优路径, 那么随着  $N$  的增大, 计算量将急剧增大。

实际应用中, 这类问题往往不需要得到严格的最优解, 近似最优、准最优的解也是可以接受的。例如, 图3-4中的路径也许就是准最优的。

#### 二、求解TSP的网络模型

##### 1. TSP状态与结果的表示

如果用行表示城市, 用列表示步数, 那么我们就可以用表3-1所示的矩阵来表示TSP的状态与结果。例如, 表中的矩阵表示的路径顺序是CAEBD, 路径总长度为

$$d = d_{CA} + d_{AE} + d_{EB} + d_{BD} + d_{DC}$$

	1	2	3	4	5
A	0	1	0	0	0
B	0	0	0	1	0
C	1	0	0	0	0
D	0	0	0	0	1
E	0	0	1	0	0

2004-8-8      《神经网络导论》——Hopfield神经网络      3-28

XIAN JIAOTONG UNIVERSITY

### § 3.4 Hopfield网络用于求解TSP

这种矩阵称为置换矩阵 (permutation matrix)，它具有以下特点：

- (1) 每行只有一个“1”，其余元素为“0”；
- (2) 每列只有一个“1”，其余元素为“0”；
- (3) 全部元素中“1”的总和为  $N$ 。

2. 网络模型

这样，我们就可以用  $N \times N$  个神经元组成Hopfield神经网络，当网络达到稳定状态时，各神经元的状态对应置换矩阵的各元素值（“1”或“0”）。各城市间的距离  $d_{AB}$ 、 $d_{AC}$ 、...等作为一组约束信息确定神经元之间的连接强度  $w_{ij}$ 。我们期望网络演变的最终结果给出最优解，即网络给出的置换矩阵所对应的路径是最短路径。

为了便于和置换矩阵对应，神经元的输出电压用双下标表示，如  $V_{xi}$ ，其中第一个下标  $X$  代表城市名（如A，B等），第二个下标  $i$  代表路径顺序（如1，2等）。相应地，放大器的输入电压也用双下标表示，记为  $u_{xi}$ 。

2004-8-8      《神经网络导论》——Hopfield神经网络      3-29

XIAN JIAOTONG UNIVERSITY

### § 3.4 Hopfield网络用于求解TSP

为了完成网络电路的设计，需要求出其中的连接电导和偏置电流。因此，我们要根据优化目标构造能量函数，所建立的能量函数应该满足以下两方面的要求：(1) 网络稳定时，也即能量函数达到最小值时，神经元的输出符合置换矩阵的形式；(2) 网络稳定时，置换矩阵对应的路径最短。

为满足(1)，能量函数中应包括下式：

$$\frac{\alpha}{2} \sum_X \sum_i \sum_{j \neq i} V_{xi} V_{xj} + \frac{\beta}{2} \sum_X \sum_{Y \neq X} \sum_i V_{xi} V_{Yi} + \frac{\gamma}{2} \left( \sum_X \sum_i V_{xi} - N \right)^2 \quad \dots \text{EQ3.17}$$

式中的  $\alpha$ 、 $\beta$ 、 $\gamma$  为实系数。其中第一项是置换矩阵所有各行每行内各元素两两交叉相乘（不包括自乘）的各种组合，此项是为了保证使置换矩阵的各行中1的个数不大于“1”；第二项是为了保证使置换矩阵的各列中“1”的个数不大于1；第三项是为了保证置换矩阵中共有  $N$  个“1”。当EQ3.17取最小值0时，网络的输出符合置换矩阵形式，其所代表的路径是一条“合法”路径。

2004-8-8      《神经网络导论》——Hopfield神经网络      3-30

XIAN JIAOTONG UNIVERSITY

### § 3.4 Hopfield网络用于求解TSP

为了满足(2)，能量函数应包含下式

$$\frac{\lambda}{2} \sum_X \sum_{Y \neq X} \sum_i d_{XY} V_{xi} (V_{Y,i+1} + V_{Y,i-1}) \quad \dots \text{EQ3.18}$$

上式表示的是某条“合法”路径的长度，我们希望它越小越好。要注意的是，上式中的下标按“模  $N$ ” 规律确定，即  $V_{Y,N+j} = V_{Y,j}$ 。

将上两式结合，得到能量函数表达式为：

$$E = \frac{\alpha}{2} \sum_X \sum_i \sum_{j \neq i} V_{xi} V_{xj} + \frac{\beta}{2} \sum_X \sum_{Y \neq X} \sum_i V_{xi} V_{Yi} + \frac{\gamma}{2} \left( \sum_X \sum_i V_{xi} - N \right)^2 + \frac{\lambda}{2} \sum_X \sum_{Y \neq X} \sum_i d_{XY} V_{xi} (V_{Y,i+1} + V_{Y,i-1}) \quad \dots \text{EQ3.19}$$

把此式和“标准的”Hopfield神经网络能量函数（EQ3.13）相比较，就可以求得连接权值和阈值。

2004-8-8      《神经网络导论》——Hopfield神经网络      3-31

XIAN JIAOTONG UNIVERSITY

### § 3.4 Hopfield网络用于求解TSP

$$E = -\frac{1}{2} \sum_{i \neq j} \sum_j w_{ij} V_i V_j - \sum_i I_i V_i \quad \dots \text{EQ3.13}$$

为了方便比较，我们把“标准”能量函数改写为双下标的形式：

$$E = -\frac{1}{2} \sum_X \sum_i \sum_Y \sum_j w_{xi,yj} V_{xi} V_{yj} - \sum_X \sum_i I_{xi} V_{xi} \quad \dots \text{EQ3.14}$$

为了清楚地表示比较结果，引用如下符号：

$$\delta_{ij} = \begin{cases} 1 & (i = j) \\ 0 & (i \neq j) \end{cases} \quad \dots \text{EQ3.20}$$

通过比较，我们可以得到：

$$w_{xi,yj} = -\alpha \delta_{xy} (1 - \delta_{ij}) - \beta \delta_{ij} (1 - \delta_{xy}) - \gamma - \lambda d_{xy} (\delta_{j,i+1} + \delta_{j,i-1}) \quad \dots \text{EQ3.21}$$

$$I_{xi} = N \gamma \quad \dots \text{EQ3.22}$$

2004-8-8      《神经网络导论》——Hopfield神经网络      3-32



XIAN JIAOTONG UNIVERSITY

### § 3.4 Hopfield网络用于求解TSP

下面导出描述TSP网络的状态方程式，由EQ3.9，并令  $C = C_i$ ，有

$$-\frac{\partial E}{\partial V_i} = C \frac{du_i}{dt}$$

考虑到神经元非线性函数不一定是硬限幅函数，需要在能量函数表达式中增加  $f_i^{-1}(V)$  函数积分项，最后求得：

$$\left. \begin{aligned} \frac{du_{xi}}{dt} &= -\frac{u_{xi}}{\tau} - \alpha \sum_{j \neq i} V_{xj} - \beta \sum_{Y \neq X} V_{Yi} - \gamma \left( \sum_X \sum_i V_{xi} - N \right) \\ &\quad - \lambda \sum_{Y \neq X} d_{XY} (V_{Y,i+1} + V_{Y,i-1}) \\ V_{xi} &= f(u_{xi}) = \frac{1}{2} \left[ 1 + \tanh \left( \frac{u_{xi}}{u_0} \right) \right] \end{aligned} \right\} \dots \dots \text{EQ3.23}$$

这是  $N \times N$  个神经元状态方程式的通用表达式。为求TSP的优化结果，需要求解  $N \times N$  个非线性一阶联立微分方程组。

2004-8-8      《神经网络导论》——Hopfield神经网络      3-33

XIAN JIAOTONG UNIVERSITY

### § 3.4 Hopfield网络用于求解TSP

#### 三、仿真实验

Hopfield给出了TSP的计算机仿真实例。实验中参数选择如下：

$N = 10 \quad \tau = 1 \quad u_0 = 0.02$   
 $\alpha = \beta = 500 \quad \gamma = 200 \quad \lambda = 500$

初始条件为： $u_{xi} = u_{00} + \delta u_{xi}$ ，  
 $u_{00}$  满足  $t = 0$  时， $\sum_X \sum_i V_{xi} = 10$  以利于收敛；  
 $-0.1u_0 \leq \delta u_{xi} \leq 0.1u_0$  为随机噪声。

利用数值计算方法对此微分方程组求解，经过若干次迭代即可求得各神经元的最终状态。给定不同的  $\delta u_{xi}$ ，就可能得到不同的最终状态，其中有一些可能是最优的，另一些可能是准最优的。图3-6是两种可能的解。

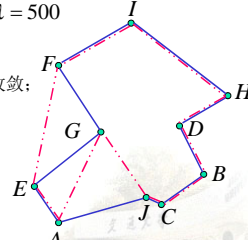


图3-6 两种可能的解

2004-8-8      《神经网络导论》——Hopfield神经网络      3-34

XIAN JIAOTONG UNIVERSITY

### § 3.4 Hopfield网络用于求解TSP

#### 关于仿真实验的几点讨论：

1.  $u_0$  的选择对计算结果有较大的影响。太小的  $u_0$  将使优化路径过于粗略，所得结果与最优状态相差较远。而太大的  $u_0$  则使最终的  $V_{xi}$  难以接近1或0，即难以得到正确的置换矩阵形式。
2. 系数  $\alpha, \beta, \gamma, \lambda$  的选择也很重要，其中  $\lambda$  的选择更为重要。
3. 实验结果表明，选择20组不同的  $\delta u_{xi}$  进行实验，其中大部分结果收敛于接近最优的路径，包括最优路径。对于  $N = 10$ ，共有181440条路径，所以这种算法改善计算效率为： $20/181440 \approx 10^{-5}$ 。

#### 四、Hopfield网络求解TSP的意义、存在的问题及影响

利用Hopfield网络求解TSP的成功引起了人们极大的兴趣，但也存在着一些问题。

2004-8-8      《神经网络导论》——Hopfield神经网络      3-35

XIAN JIAOTONG UNIVERSITY

### § 3.4 Hopfield网络用于求解TSP

1. 可以得到最优或接近最优的解，与人脑分析这种问题的特点相似。
2. 借助计算机进行仿真，只能证实这一方法的可行性，不一定能改善计算速度。
3. 如果用硬件实现，则解题时间仅是运放过渡特性时间常数的量级，非常快。而目前硬件实现的进展不顺利。
4. 按照Hopfield提出的方法计算TSP时，收敛效果并不好。已有很多文章从不同角度对此方法进行了改进。
5. Hopfield网络的构成原理既不同于数字计算机，也不同于传统的模拟计算机，它在结构原理和功能效果方面更接近人脑的特征。在解决TSP以外的许多优化问题中都取得了一定的进展，提供了一种解决优化问题的新思路，表现出了引人注目的潜在能力。
6. TSP属于NP难题，Hopfield网络求解TSP的方法对众多NP问题的研究有一定的启发。

2004-8-8      《神经网络导论》——Hopfield神经网络      3-36

XI'AN JIAOTONG UNIVERSITY

### § 3.4 Hopfield网络用于求解TSP

五、NP理论简介

在研究算法时，需要研究算法的“时间复杂性”与“空间复杂性”。在研究算法时间复杂性的过程中逐步形成了NP理论，它已成为组合数学研究领域中的重要组成部分。

假定计算对象的规模为 $N$ ，那么算法所需的时间将随 $N$ 的增加而增大，其增长规律可能有以下几种类型：

- (1) 对数型： $\log N$
- (2) 多项式型： $N, N^2, N^3, \dots$
- (3) 指数型： $2^N, 3^N, 4^N, \dots$
- (4) 阶乘型： $N!$

如  $T(N) = 8N^3 + 5N + 6$ ，算法的时间复杂性为  $O(N^3)$ ，其中 $O(\cdot)$ 表示取数量级。而FFT算法的时间复杂性为  $O(N \log_2 N)$ 。

2004-8-8      《神经网络导论》——Hopfield神经网络      3-37

XI'AN JIAOTONG UNIVERSITY

### § 3.4 Hopfield网络用于求解TSP

通常认为算法的时间复杂性存在多项式界时，计算时间是可以接受的，如果超出多项式界，那么计算时间将随 $N$ 的增大而急剧增长，则该算法在实际应用中很难被接受。一般情况下有如下结论：

$$O(\log N) < O(N) < O(N \log N) < O(N^2) < \dots < O(2^N) < O(3^N) < \dots < O(N!)$$

NP理论指出：如果算法的时间复杂性存在多项式界(Polynomial bounded)，则称为P类。如FFT算法。有许多问题，其算法的时间复杂度肯定超出多项式界，如求一个图的所有树。此外，还有许多问题未能证明它超出多项式界，但又未找到有效算法，称之为“非确定型多项式(Nondeterministic Polynomial)问题”，简称NP问题。当然，这不是NP问题的严格定义。

NP理论不期望寻找NP问题的具体算法，而是着重证明这类问题相互等价性，即证明它们的困难程度相当，如果其中一个问题获得多项式解法，则此类问题全部获得解决。

2004-8-8      《神经网络导论》——Hopfield神经网络      3-38

XI'AN JIAOTONG UNIVERSITY

### § 3.5 Hopfield网络用于求解货流问题

一、以二值状态实现数字编码的几种方式

在某些优化计算中，输出结果需要连续取值。这可以利用连续时间连续幅度工作下的运放来实现，也可以用二值数据编码来实现。

1. 二进制

是一种一对一的映射，无冗余，虽然节省神经元的数目，但容错性较差。

$$N_d = \sum_{k=1}^q 2^{k-1} V_k \quad \dots \dots \dots \text{EQ3.47}$$

如  $5 \Rightarrow 101$        $7 \Rightarrow 111$

2. 简单求和制

是一种一对多的映射，和二进制相比，表示相同的数字需要更多的神经元，但容错性好。

$$N_d = \sum_{i=1}^q V_i \quad \dots \dots \dots \text{EQ3.48}$$

2004-8-8      《神经网络导论》——Hopfield神经网络      3-39

XI'AN JIAOTONG UNIVERSITY

### § 3.5 Hopfield网络用于求解货流问题

如  $5 \Rightarrow 1010111, 0011111, 1101011, \dots$      $7 \Rightarrow 1111111$

3. 分组求和加权制

是上述两种方案的折衷。把 $q$  bit分成 $K$ 组，每组 $M$  bit,  $q = KM$ 。

每组内使用简单求和制，各组之间使用 $M+1$ 进制的加权求和制。

$$N_d = \sum_{k=1}^K \left[ (M+1)^{k-1} \sum_{i=1}^M V_{(k-1)M+i} \right] \quad \dots \dots \dots \text{EQ3.46}$$

例如： $q = 6, K = 2, M = 3$  则

$$100100 = 4^1 \times (1+0+0) + 4^0 \times (1+0+0) = 5$$

$5 \Rightarrow 100001, 001100, 010010, \dots$

当 $M = 1, K = q$ 时，即每组只有一位，相当于不分组，可得二进制表达式EQ3.47；而当 $M = q, K = 1$ 时，即只分一组，此时可得简单求和制的表达式EQ3.48。

2004-8-8      《神经网络导论》——Hopfield神经网络      3-40

XIAN JIAOTONG UNIVERSITY

### § 3.5 Hopfield网络用于求解货流问题

二、货流问题描述

货流问题 (Hitchcock Problem) 又称为运输问题。

设有  $m$  个货源  $x = 1, 2, \dots, m$ , 每个源储存的 (可供应的) 物资量为  $S_x$ 。有  $n$  个用户  $y = 1, 2, \dots, n$ , 每个用户需要的物资量为  $D_y$ 。从源  $x$  到用户  $y$  运送单位物资量的消耗费用为  $C_{xy}$ 。在以上条件下, 确定一组从  $x$  到  $y$  运送物资的流量  $f_{xy}$ , 使其满足供销平衡且总的消耗费用最小。

可以用数学语言描述如下:

$$\min \left[ \sum_{x=1}^m \sum_{y=1}^n C_{xy} f_{xy} \right] \dots\dots\dots \text{EQ3.49}$$

$$\sum_{y=1}^n f_{xy} = S_x \quad x = 1, 2, \dots, m \quad \dots\dots\dots \text{EQ3.50}$$

$$\sum_{x=1}^m f_{xy} = D_y \quad y = 1, 2, \dots, n \quad \dots\dots\dots \text{EQ3.51}$$

2004-8-8 《神经网络导论》——Hopfield神经网络 3-41

XIAN JIAOTONG UNIVERSITY

### § 3.5 Hopfield网络用于求解货流问题

图3-11是  $m = 4, n = 5$  情况下的供销关系示意图。

假定已知消耗矩阵如下表:

$x \backslash y$	1	2	3	4	5
1	5	1	7	3	3
2	2	3	6	9	5
3	6	4	8	1	4
4	3	2	2	2	4

经分析计算可以得到如下的流量矩阵:

	$D_1$	$D_2$	$D_3$	$D_4$	$D_5$
$S_1$	5	0	5	0	0
$S_2$	3	2	1	0	0
$S_3$	4	0	0	0	2
$S_4$	6	0	1	3	0

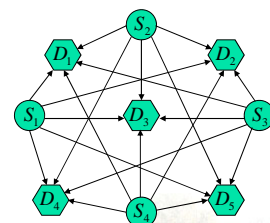


图3-11 货流问题供销关系

2004-8-8 《神经网络导论》——Hopfield神经网络 3-42

XIAN JIAOTONG UNIVERSITY

### § 3.5 Hopfield网络用于求解货流问题

问题是: 如何用人工神经网络来求解这一问题?

三、用Hopfield网络求解货流问题

流量矩阵中的每个元素值以  $q$  个神经元的状态按数字编码 (分组加权求和) 的方式表示, 因此求解货流问题需要的神经元个数  $N = qmn$ 。我们用三个下标  $x, y, j$  确定神经元的位置, 其中  $xy$  表示流量矩阵中的元素序号, 而  $j$  表示神经元在该元素的  $q$  个位置中的序号。如下表所示:

	$y = 1$	$y = 2$	...	$y = n$
	$j$	$j$	...	$j$
$x = 1$	$q \dots 2 \ 1$	$q \dots 2 \ 1$		$q \dots 2 \ 1$
$x = 2$				
$\vdots$				
$x = m$				

$V_{2,1,2}$        $f_{1,2}$

2004-8-8 《神经网络导论》——Hopfield神经网络 3-43

XIAN JIAOTONG UNIVERSITY

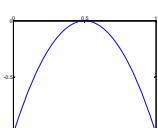
### § 3.5 Hopfield网络用于求解货流问题

引用EQ3.46, 用分组求和和加权法表示流量  $f_{xy}$ :

$$f_{xy} = \sum_{k=1}^K \left[ (M+1)^{k-1} \sum_{i=1}^M V_{xy,(k-1)M+i} \right] \dots\dots\dots \text{EQ3.52}$$

由于矩阵元素是用分组求和和加权制表示的, 所以下标  $j = (k-1)M + i$ 。下面我们根据优化目标构造能量函数。

(1) 神经元的输出要尽量接近0或1, 即二值化, 能量函数应包括:

$$-\frac{A}{2} \sum_{x=1}^m \sum_{y=1}^n \sum_{k=1}^K \sum_{i=1}^M (M+1)^{k-1} [1 - 2V_{xy,(k-1)M+i}]^2$$


借用函数  $-(1-2V)^2$  ( $0 \leq V \leq 1$ ) 来满足这个要求

(2) 供货量约束

所有用户对某一源的需求应为源的供货量。

2004-8-8 《神经网络导论》——Hopfield神经网络 3-44

XIAN JIAOTONG UNIVERSITY

### § 3.5 Hopfield网络用于求解货流问题

$$\frac{B}{2} \sum_{x=1}^m \left[ S_x - \sum_{y=1}^n \sum_{k=1}^K \sum_{i=1}^M (M+1)^{k-1} V_{xy,(k-1)M+i} \right]^2$$

(3) 需求量约束，所有货源对某一用户的供货量等于这个用户的需求量。

$$\frac{C}{2} \sum_{y=1}^n \left[ D_y - \sum_{x=1}^m \sum_{k=1}^K \sum_{i=1}^M (M+1)^{k-1} V_{xy,(k-1)M+i} \right]^2$$

(4) 消耗费用最小约束。

$$\frac{D}{2} \left[ \sum_{x=1}^m \sum_{y=1}^n \sum_{k=1}^K \sum_{i=1}^M C_{xy} (M+1)^k V_{xy,(k-1)M+i} \right]^2$$

由于消耗费用恒为正值，所以上式中的平方可以去掉。以上四项相加，即为完整的能量函数，它与“标准”的Hopfield能量函数（EQ3.13）比较，就可以得到网络中的连接权值（电导）和阈值（偏置电流）。

2004-8-8      《神经网络导论》——Hopfield神经网络      3-45

XIAN JIAOTONG UNIVERSITY

### § 3.5 Hopfield网络用于求解货流问题

为了方便比较，将EQ3.13式改写为与本问题相同的形式：

$$E = -\frac{1}{2} \sum_{x=1}^m \sum_{y=1}^n \sum_{k=1}^K \sum_{i=1}^M \sum_{x'=1}^m \sum_{y'=1}^n \sum_{k'=1}^K \sum_{i'=1}^M w_{xy,(k-1)M+i;x'y',(k'-1)M+i'} V_{xy,(k-1)M+i} V_{x'y',(k'-1)M+i'}$$

$$- \sum_{x=1}^m \sum_{y=1}^n \sum_{k=1}^K \sum_{i=1}^M V_{xy,(k-1)M+i} \cdot I_{xy,(k-1)M+i}$$

借助上一节定义的  $\delta_{ij}$  符号，通过比较可得：

$$w_{xy,(k-1)M+i;x'y',(k'-1)M+i'} = 4A(M+1)^{k-1} \delta_{xx'} \delta_{yy'} \delta_{kk'} \delta_{ii'}$$

$$-B(M+1)^{k+k'-2} \delta_{xx'} - C(M+1)^{k+k'-2} \delta_{yy'} \dots \dots \text{EQ3.55}$$

$$-D(M+1)^{k+k'-2} C_{xy} C_{x'y'}$$

$$I_{xy,(k-1)M+i} = -2A(M+1)^{k-1} + B(M+1)^{k-1} S_x + C(M+1)^{k-1} D_y \text{EQ3.56}$$

2004-8-8      《神经网络导论》——Hopfield神经网络      3-46

XIAN JIAOTONG UNIVERSITY

### § 3.5 Hopfield网络用于求解货流问题

如果令  $M=1, K=q$ ，那么可以得到二进制编码方式的连接权和阈值：

$$w_{xyk;x'y'k'} = 4A2^{k-1} \delta_{xx'} \delta_{yy'} \delta_{kk'} \dots \dots \text{EQ3.58}$$

$$-B2^{k+k'-2} \delta_{xx'} - C2^{k+k'-2} \delta_{yy'} - D2^{k+k'-2} C_{xy} C_{x'y'}$$

$$I_{xyk} = -A2^k + B2^{k-1} S_x + C2^{k-1} D_y \dots \dots \text{EQ3.59}$$

如果令  $M=q, K=1$ ，那么就可以得到简单求和制编码方式的连接权和阈值：

$$w_{xyi;x'y'i'} = 4A \delta_{xx'} \delta_{yy'} \delta_{ii'} \dots \dots \text{EQ3.60}$$

$$-B \delta_{xx'} - C \delta_{yy'} - DC_{xy} C_{x'y'} \dots \dots \text{EQ3.61}$$

$$I_{xyi} = -2A + BS_x + CD_y$$

2004-8-8      《神经网络导论》——Hopfield神经网络      3-47

XIAN JIAOTONG UNIVERSITY

### § 3.6 Hopfield网络用于联想记忆

Hopfield网络除用于优化计算外，也可以用于联想记忆或分类。在上一章，我们曾讨论过用前向多层神经网络实现异联想，和分类的情况类似，异联想可以用一种映射关系来描述。  $X^{(s)} \rightarrow Y^{(s)}, X^{(s)} + \Delta X^{(s)} \rightarrow Y^{(s)}$

本节我们以印刷体字符识别为例，讨论Hopfield网络用于联想记忆的原理、学习和识别的算法步骤。

待识别的8个标准字符如图3-12所示。

样本数  $M=8$ ，每个字符用120个黑白像素（ $12 \times 10$ ）表示。我们可以用列矢量  $X$  来描述字符。


$$\left. \begin{aligned} X &= [x_0 \ x_1 \ \dots \ x_{N-1}]^T \\ X &\in \{-1, 1\}^N \end{aligned} \right\} \dots \dots \text{EQ3.62}$$


图3-12 8个标准字符

其中， $N=120$ 为矢量维数。

2004-8-8      《神经网络导论》——Hopfield神经网络      3-48

XIAN JIAOTONG UNIVERSITY

### § 3.6 Hopfield网络用于联想记忆

网络模型如图3-13所示。利用标准样本对网络进行训练（学习），可以求得网络的突触权重连接矩阵  $\mathbf{W}$ ，从而使网络可以完成联想记忆的功能。

图3-13 Hopfield网络模型

2004-8-8      《神经网络导论》——Hopfield神经网络      3-49

XIAN JIAOTONG UNIVERSITY

### § 3.6 Hopfield网络用于联想记忆

算法步骤如下：

- ① 利用Hebb规则学习，求  $w$

$$w_{ij} = \begin{cases} \sum_{s=0}^{M-1} x_i^{(s)} x_j^{(s)}, & i \neq j \\ 0, & i = j \end{cases} \quad 0 \leq \begin{Bmatrix} i \\ j \end{Bmatrix} \leq N-1 \quad \dots \text{EQ3.63}$$

- ② 利用未知输入样本初始化

$$y_i(0) = x_i \quad 0 \leq i \leq N-1 \quad \dots \text{EQ3.64}$$

其中  $y_i(t)$  表示节点  $i$  在  $t$  时刻的输出； $x_i \in \{-1, 1\}$  是输入信号的  $i$  元素。

- ③ 运算、迭代至收敛

$$y_i(t+1) = f \left[ \sum_{j=0}^{N-1} w_{ij} y_j(t) \right], \quad 0 \leq i \leq N-1 \quad \dots \text{EQ3.65}$$

2004-8-8      《神经网络导论》——Hopfield神经网络      3-50

XIAN JIAOTONG UNIVERSITY

### § 3.6 Hopfield网络用于联想记忆

其中， $f[\cdot]$  是神经元非线性函数。重复上述计算过程，直至  $y_i(t+k)$  不再改变。最终，节点的输出描述了未知输入与样本的最佳匹配。

- ④ 返回②，可以再输入一个未知样本。

以上算法可以用**矩阵形式**表示如下：

$$\mathbf{W} = \sum_{s=0}^{M-1} (\mathbf{X}_s \mathbf{X}_s^T - \mathbf{I}) \quad \dots \text{EQ3.66}$$

$$\mathbf{Y}(0) = \mathbf{X} \quad \dots \text{EQ3.67}$$

$$\mathbf{Y}(t+1) = f[\mathbf{W}\mathbf{Y}(t)] \quad \dots \text{EQ3.68}$$

其中， $\mathbf{I}$  为单位阵。

**More...**

如果输入样本没有噪声，即输入的是标准样本，运算将一次迭代成功，输出  $\mathbf{Y}$  等于输入  $\mathbf{X}$ 。如果输入样本含有噪声，即输入  $\mathbf{X} + \Delta\mathbf{X}$ ，那么需要经过若干次迭代，最终收敛后使  $\mathbf{Y}$  与某个样本  $\mathbf{X}$  一致。

2004-8-8      《神经网络导论》——Hopfield神经网络      3-51

XIAN JIAOTONG UNIVERSITY

### § 3.6 Hopfield网络用于联想记忆

在仿真实验中，把样本“3”的25%的元素随机取反，经过6次迭代，最后输出收敛于标准样本“3”。

为实现联想记忆功能，我们希望网络最终收敛至预期的标准样本，即希望通过训练使样本成为网络的稳定状态。然而，稳定状态出现的规律十分复杂。

- (1) 给定一组样本，经训练得到  $w$ ，网络将对应有一组稳定状态。除此之外，还可能有多余的稳定状态，称为伪稳定状态。
- (2) 并非任何一组样本经训练后都可以构成一组稳定状态。
- (3) 给定一个加噪的样本，最终不一定收敛到与其汉明距离最近的标准样本。
- (4) 各样本之间的汉明距离分布对联想记忆功能的正确实现有重要影响。若样本之间相互正交（汉明距离是输入矢量维数的一半），效果最好。
- (5)  $N$  一定时， $M$  越小越好。

2004-8-8      《神经网络导论》——Hopfield神经网络      3-52

XIAN JIAOTONG UNIVERSITY

### § 3.7 双向联想记忆

双向联想记忆, Bidirectional Associative Memory(BAM), 是一种异联想, 它可以存储两组矢量。

$\mathbf{A} = [a_0, a_1, \dots, a_{N-1}]^T$   $\mathbf{A} \in \{-1, 1\}^N$  表示  $N$  维矢量,  
 $\mathbf{B} = [b_0, b_1, \dots, b_{P-1}]^T$   $\mathbf{B} \in \{-1, 1\}^P$  表示  $P$  维矢量。  
 各  $M$  个矢量构成  $M$  对矢量  $(\mathbf{A}_s, \mathbf{B}_s)$ ,  $s = 0, 1, \dots, M-1$ 。

双向联想记忆可以

$$\left. \begin{matrix} \mathbf{A} \Rightarrow \mathbf{B} \\ \mathbf{B} \Rightarrow \mathbf{A} \end{matrix} \right\} \mathbf{A} \Leftrightarrow \mathbf{B}$$

当有噪声或缺损时, 联想功能可使样本对复原。

利用人工神经网络实现BAM有多种结构形式, 这里只介绍最基本的一种, Kosko型BAM网络, 其网络模型如图3-16所示。

2004-8-8      《神经网络导论》——Hopfield神经网络      3-53

XIAN JIAOTONG UNIVERSITY

### § 3.7 双向联想记忆

$\mathbf{W}$  为正向传输  $\mathbf{B} \Rightarrow \mathbf{A}$  的突触权重连接矩阵;  $\mathbf{W}^T$  是反向传输的权重连接矩阵。

当输入任意矢量时, 网络要经过若干次迭代运算演变至稳定状态。下面通过与自联想记忆的对比来说明网络的演变过程。

图3-16 双向联想记忆网络模型

<p style="text-align: center;">自联想</p> $\mathbf{W}\mathbf{Y}(t) \rightarrow \mathbf{Y}(t+1)$ $\mathbf{W}\mathbf{Y}(t+1) \rightarrow \mathbf{Y}(t+2)$ $\vdots$ $\dots \rightarrow \mathbf{Y}(t+k)$ 迭代直至收敛、稳定	<p style="text-align: center;">双向联想</p> $\mathbf{W}\mathbf{B}(t) \rightarrow \mathbf{A}(t+1)$ $\mathbf{W}^T\mathbf{A}(t+1) \rightarrow \mathbf{B}(t+2)$ $\vdots$ $\mathbf{W}\mathbf{B}(t+2) \rightarrow \mathbf{A}(t+3)$ $\vdots$ 直至 $\mathbf{A}$ 、 $\mathbf{B}$ 均为稳定状态
---	--

2004-8-8      《神经网络导论》——Hopfield神经网络      3-54

XIAN JIAOTONG UNIVERSITY

### § 3.7 双向联想记忆

网络的学习(训练)按Hebb规则。

假设给定  $M$  个样本对:  $(\mathbf{A}_0, \mathbf{B}_0), (\mathbf{A}_1, \mathbf{B}_1) \dots (\mathbf{A}_{M-1}, \mathbf{B}_{M-1})$ 。则

$$\mathbf{W} = \sum_{s=0}^{M-1} \mathbf{A}_s \mathbf{B}_s^T; \quad \mathbf{W}^T = \sum_{s=0}^{M-1} \mathbf{B}_s \mathbf{A}_s^T \quad \dots \dots \dots \text{EQ3.95}$$

如果BAM网络神经元的阈值等于零, 那么称为齐次BAM网络。定义齐次BAM网络的能量函数为

$$E(\mathbf{A}, \mathbf{B}) = -\frac{1}{2} \mathbf{A}^T \mathbf{W} \mathbf{B} - \frac{1}{2} \mathbf{B}^T \mathbf{W}^T \mathbf{A} \quad \dots \dots \dots \text{EQ3.97}$$

因为

$$\mathbf{B}^T \mathbf{W}^T \mathbf{A} = \mathbf{B}^T (\mathbf{A}^T \mathbf{W})^T = (\mathbf{A}^T \mathbf{W} \mathbf{B})^T = \mathbf{A}^T \mathbf{W} \mathbf{B}$$

所以

$$E(\mathbf{A}, \mathbf{B}) = -\mathbf{A}^T \mathbf{W} \mathbf{B} \quad \dots \dots \dots \text{EQ3.99}$$

2004-8-8      《神经网络导论》——Hopfield神经网络      3-55

XIAN JIAOTONG UNIVERSITY

### § 3.7 双向联想记忆

对非齐次BAM网络, 其能量函数定义为:

$$E(\mathbf{A}, \mathbf{B}) = -\mathbf{A}^T \mathbf{W} \mathbf{B} + \mathbf{A}^T \boldsymbol{\theta} + \mathbf{B}^T \boldsymbol{\mu} \quad \dots \dots \dots \text{EQ3.100}$$

其中  $\boldsymbol{\theta} = (\theta_0, \theta_1, \dots, \theta_{N-1})^T$ ,  $\theta_i$  为  $\mathbf{A}$  的第  $i$  个元素  $a_i$  对应的阈值。  
 $\boldsymbol{\mu} = (\mu_0, \mu_1, \dots, \mu_{P-1})^T$ ,  $\mu_j$  为  $\mathbf{B}$  的第  $j$  个元素  $b_j$  对应的阈值。


若神经元非线性函数  $f$  为硬限幅特性, 以  $\text{sgn}$  表示, 则描述BAM动态特性的差分方程式如下:

正向传输 ( $\mathbf{B} \Rightarrow \mathbf{A}$ ):

$$a_i(t+1) = \begin{cases} \text{sgn} \left[ \sum_{j=0}^{P-1} w_{ij} b_j(t) - \theta_i \right] & \text{当 } \sum_{j=0}^{P-1} w_{ij} b_j(t) - \theta_i \neq 0 \text{ 时} \\ a_i(t) & \text{当 } \sum_{j=0}^{P-1} w_{ij} b_j(t) - \theta_i = 0 \text{ 时} \end{cases} \quad \text{EQ3.101}$$

2004-8-8      《神经网络导论》——Hopfield神经网络      3-56





XI'AN JIAOTONG UNIVERSITY

### § 3.7 双向联想记忆

反向传输 ( $\mathbf{A} \Rightarrow \mathbf{B}$ ):

$$b_j(t+2) = \begin{cases} \text{sgn} \left[ \sum_{i=0}^{N-1} w_{ij} a_i(t+1) - \mu_j \right] & \text{当 } \sum_{i=0}^{N-1} w_{ij} a_i(t+1) - \mu_j \neq 0 \text{ 时} \\ b_j(t+1) & \text{当 } \sum_{i=0}^{N-1} w_{ij} a_i(t+1) - \mu_j = 0 \text{ 时} \end{cases} \quad \text{EQ3.102}$$

下面我们证明, 网络在演变过程中能量函数  $E$  递减, 即  $\Delta E < 0$ 。


设  $a_i$  发生变化, 由于其取值为  $-1$  或  $1$ , 所以  $\Delta a_i$  的取值为  $-2, 2$  两种情况。为书写简便, 下面的推导省去时序变量。

由EQ3.100可得:

$$\Delta E = -(\Delta \mathbf{A}^T) \mathbf{W} \mathbf{B} + (\Delta \mathbf{A}^T) \boldsymbol{\theta} = -(\Delta \mathbf{A}^T) (\mathbf{W} \mathbf{B} - \boldsymbol{\theta}) \quad \text{More...}$$

$$= -\sum_{i=0}^{N-1} (\Delta a_i) \left( \sum_{j=0}^{P-1} w_{ij} b_j - \theta_i \right) \quad \text{EQ3.103}$$

2004-8-8      《神经网络导论》——Hopfield神经网络      3-57



XI'AN JIAOTONG UNIVERSITY

### § 3.7 双向联想记忆

如果  $\Delta a_i = -2$ , 即  $a_i$  从  $1$  变为  $-1$ , 由EQ3.101可知必有

$$\sum_{j=0}^{P-1} w_{ij} b_j - \theta_i < 0 \quad \text{故有 } \Delta E < 0。$$

如果  $\Delta a_i = 2$ , 即  $a_i$  从  $-1$  变为  $1$ , 由EQ3.101可知必有


$$\sum_{j=0}^{P-1} w_{ij} b_j - \theta_i > 0 \quad \text{故有 } \Delta E < 0。$$

联系

---

第二次实验  
双向联想记忆BAM  
地址: <http://home.xjtu.edu.cn/teacher/zhangjg>

2004-8-8      《神经网络导论》——Hopfield神经网络      3-58



XI'AN JIAOTONG UNIVERSITY


### § 3.8 本章小结

本章我们讨论了Hopfield网络的电路模型及其能量函数。在此基础上介绍了Hopfield网络A/D变换器及非对称网络的A/D变换器; 讨论了用Hopfield网络求解TSP问题及货流问题, 这些都是Hopfield网络的典型应用。最后, 介绍了Hopfield网络在联想记忆方面的应用。

Hopfield网络的几个主要特点:

- (1) Hopfield网络是一个复杂的动力学系统, 稳定性分析成为不可避免困难问题, 这不同于前向网络, 它是一种输入到输出的映射模型。
- (2) Hopfield网络的学习(训练)主要采用Hebb规则, 收敛速度较前向网络快得多。
- (3) Hopfield网络可以用于优化计算和联想记忆, 两者实际上是对偶的。在优化计算方面, 由于Hopfield网络较成功地求解了NPH问题, 因此人们对它寄予厚望。

2004-8-8      《神经网络导论》——Hopfield神经网络      3-59



XI'AN JIAOTONG UNIVERSITY

### 附录A. EQ3.28的推导

$$E = \frac{1}{2} \left( x - \sum_{i=0}^3 2^i V_i \right)^2 - \frac{1}{2} \sum_{i=0}^3 2^{2i} V_i (V_i - 1)$$

$$= \frac{1}{2} x^2 - x \sum_{i=0}^3 2^i V_i + \frac{1}{2} \left( \sum_{i=0}^3 2^i V_i \right)^2 - \frac{1}{2} \sum_{i=0}^3 2^{2i} V_i^2 + \frac{1}{2} \sum_{i=0}^3 2^{2i} V_i$$

$$= -\sum_{i=0}^3 (2^i x - 2^{2i-1}) V_i + \frac{1}{2} \left( \sum_{i=0}^3 2^i V_i \right) \left( \sum_{j=0}^3 2^j V_j \right) - \frac{1}{2} \sum_{i=0}^3 2^{2i} V_i^2$$

$$= \frac{1}{2} \sum_{j=0}^3 \sum_{i=0, i \neq j}^3 2^{(i+j)} V_i V_j - \sum_{i=0}^3 (2^i x - 2^{2i-1}) V_i$$

Return

2005-6-2      《神经网络导论》——第三章附录      3A-60

XIAN JIAOTONG UNIVERSITY

### 附录B. 对TSP双下标的说明

$$w_{X_i, Y_j} = -\alpha \delta_{XY} (1 - \delta_{ij}) - \beta \delta_{ij} (1 - \delta_{XY}) - \gamma - \lambda d_{XY} (\delta_{j, i+1} + \delta_{j, i-1})$$

$$w_{A2, A1} = -\alpha - \gamma$$

$$w_{B1, A1} = -\beta - \gamma$$

$$w_{B2, A1} = -\gamma - \lambda d_{AB}$$

$$w_{C3, A1} = -\gamma$$

Return

2005-6-2      《神经网络导论》——第三章附录      3A-61

XIAN JIAOTONG UNIVERSITY

### 附录C. 对自联想记忆的说明

假设现在输入的是标准样本  $\mathbf{X}_0$ , 那么

$$\begin{aligned} \mathbf{Y} &= \text{sgn}(\mathbf{W}\mathbf{X}_0) \\ &= \text{sgn}\left[\left(\sum_{s=0}^{M-1} \mathbf{X}_s \mathbf{X}_s^T - \mathbf{I}\right)\mathbf{X}_0\right] \\ &= \text{sgn}\left[\sum_{s=0}^{M-1} \mathbf{X}_s \mathbf{X}_s^T \mathbf{X}_0 - \mathbf{M}\mathbf{X}_0\right] \\ &= \text{sgn}\left[\mathbf{X}_0 \mathbf{X}_0^T \mathbf{X}_0 + \sum_{s=1}^{M-1} \mathbf{X}_s \mathbf{X}_s^T \mathbf{X}_0 - \mathbf{M}\mathbf{X}_0\right] \\ &= \text{sgn}\left[120\mathbf{X}_0 + \sum_{s=1}^7 \mathbf{X}_s \mathbf{X}_s^T \mathbf{X}_0 - 8\mathbf{X}_0\right] \\ &= \text{sgn}\left[112\mathbf{X}_0 + \sum_{s=1}^7 \mathbf{X}_s \mathbf{X}_s^T \mathbf{X}_0\right] \end{aligned}$$

Return

2005-6-2      《神经网络导论》——第三章附录      3A-62

XIAN JIAOTONG UNIVERSITY

### 附录D. 对双向联想记忆能量变化的说明

设从  $t$  时刻到  $t+1$  时刻, 系统由  $\mathbf{B}$  联想  $\mathbf{A}$ , 则

$$E(t) = -\mathbf{A}^T(t)\mathbf{W}\mathbf{B}(t) + \mathbf{A}^T(t)\boldsymbol{\theta} + \mathbf{B}^T(t)\boldsymbol{\mu}$$

$$E(t+1) = -\mathbf{A}^T(t+1)\mathbf{W}\mathbf{B}(t+1) + \mathbf{A}^T(t+1)\boldsymbol{\theta} + \mathbf{B}^T(t+1)\boldsymbol{\mu}$$

已知  $\mathbf{B}(t+1) = \mathbf{B}(t)$ , 令  $\Delta\mathbf{A} = \mathbf{A}(t+1) - \mathbf{A}(t)$  可得:

$$\begin{aligned} \Delta E &= E(t+1) - E(t) \\ &= -[\mathbf{A}^T(t+1) - \mathbf{A}^T(t)]\mathbf{W}\mathbf{B} + [\mathbf{A}^T(t+1) - \mathbf{A}^T(t)]\boldsymbol{\theta} \\ &= -\Delta\mathbf{A}^T\mathbf{W}\mathbf{B} + \Delta\mathbf{A}^T\boldsymbol{\theta} \end{aligned}$$

Return

2005-6-2      《神经网络导论》——第三章附录      3A-63